

電力系統의 發電效率 向上과 信賴性에 관한 研究*

(Reliability and Effectiveness of Electric Power Generating Systems)

金 永 煒**

Abstract

Frequency and duration method is a well known model in the generation reserve requirement planning area. In this paper, the model is used to measure the effect of increased failure rates of individual generating units on the capability of power system.

1. 緒 論

1962年 부터 시작된 數次에 걸친 經濟開發 5個年計劃의 推進에 의한 工業化와 農漁村의 段階의 電化事業에 따른 급격한 電力需要의 증가에 힘입어 우리나라의 電力系統은 1977年 8月 現在 設備容量 600萬 kw 를 超過하는 龐大한 시스템으로 發展하기에 이르렀다. 이와 같은 複雜한 시스템에서 일어나는 發電設備의 빈번한 事故停止(故障)現象은 電力系統의 供給能力를 低下시킴으로서 消費者에게 安定된 電力의 供給을 沢害할 뿐만 아니라 發電設備의稼動率 低下에 따른 固定費의 增加와 빈번한 發電設備의 停止, 始動에 소요되는 發電用燃料의 消費로 電力原價를 上昇시키는 中要한 要因이 되고 있다. 이러한 理由 때문에 電力系統의 信賴性分析問題는 最近에 와서 電力系統分野의 中要한 研究課題로 등장하고 있다. 電力系統의 信賴性에 관한 初期의 研究(참고문헌 1, 3, 6)는 주로 發電系統을 計劃하는 과정에서 合理的인 豊備發電容量을 결정하는 문제에 局限되어 있었으나 研究가 進展됨에 따라 現在에 와서는 送電 및 配電系統까지도 包含하는 綜合的인

信賴性 모델을 수립할 수 있는 段階로 發展하기에 이르렀다.

Hall, Ringlee 그리고 Wood의 Frequency and Duration method(참고문헌 4, 5)는 發電系統을 對象으로 한 代表의 信賴性 모델로 이 모델은 過去에 使用되던 Loss of Load Method와 Halperin-Adler의 Frequency and Duration method(참고문헌 6)를 더욱 發展시킨 것으로 생각할 수 있다. 이 모델은 發電設備의 有用性(availability), 故障의 頻度와 期間 그리고 故障으로 인한 出力不可能化 容量(cumulative capacity outage)의 算出을 可能하게 함으로서 豊備發電容量의 合理的인 決定근거를 提供해 주고 있다.

發電系統의 信賴性을 높이고 發電效率을 向上시키기 위해서는 效果的인 設備保全을 實시함으로서 發電系統을 構成하는 각 發電設備이 事故停止率(failure rate)을 最小로 維持하는 것이 무엇 보다도 重要하다. 發電關係의 專門家들에 의하면 效果的인 設備保全을 위한 年間 保全費는 發電設備의 建設費의 約 2% 정도가 되는 것으로 알려지고 있다. 그러나 우리나라의 경우 韓電의 關係資料에 의하면 發電系統의 設備保全을 위해 年間 投入되는 費用은 發電設備의 建設費의 約 1%에 不過한 것으로 나타나고 있다. 이러한 結果로 우리나라의 發電設備의 事故停止率은 外國의 경우에 비해 훨씬 높은 實情이다. 本研究의 目的은 Hall, Ringlee, Wood

* 본연구는 1978년도 문교부 학술연구조성비에 의하여 이루 어진 것임.

** 高麗大學校

의 Frequency and Duration Method 를 利用하여 發電系統을 構成하는 각 發電設備의 事故停止率의 增加가 系統全體의 電力供給 能力에 影響을 미치는 가를 測定해 보자는 데 있다.

2. Frequency and Duration Method

Frequency and Duration method(참고문헌 4,5)는 대략 다음과 같이 要約된다.

發電設備과 같이 故障이 나면 修理를 하여 다시稼動시킬 수 있는 設備에서 故障率(failure rate)과 修理率(repair rate)이 時間에 관계 없이 일정할 경우에는 그 發電設備의 狀態(state), 즉 發電設備가 出力可能한 狀態에 있는가 아니면 故障이 난 狀態에 있는가에 관한 model로 Markov Process 를 利用할 수가 있다. 지금 發電設備의 出力可能한 狀態를 “1” 故障이 난 狀態를 “2”로 表示한다면 稼動①→故障修理②의 週期를 반복하는 任意의 發電設備의 稼動狀況에 관한 Markov Process 의 transition diagram 는 그림 1과 같이 나타낼 수가 있다.

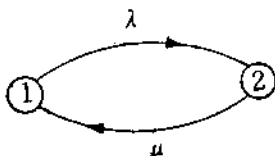


그림 1 2개의 狀態를 가지는 Markov process transition diagram

여기서 λ 과 μ 는 각각 單位時間(일반적으로는 日)當의 故障率과 修理率을 나타내며 發電設備의 狀態에 관한 장기적인 碾測에 관계되는 諸般 特性과 λ, μ 와의 사이에는 다음과 같은 關係를 成立한다.

$$T=1/f, \text{ 週期}$$

f =頻度(單位時間當 발생하는 稼動→停止의 回數)

$$m=1/\lambda, \text{ 平均持續稼動時間(日)}$$

$$r=1/\mu, \text{ 平均修理時間(日)}$$

有用性(availibility)은 發電設備과 같이 修理可能한 設備의 有效性(effectiveness)을 測定하는 중요한 尺度의 하나로 장기적인 有用性的 平均值 또는 正常狀態의 有用性(steady state availability) A 는 다음 식으로 定義된다.

$$A=\frac{m}{m+r}=\frac{T}{m}$$

$$\bar{A}=1-A=\frac{r}{T}$$

방금 定義한 有用性 A , 위에서 定義한 model의 諸

般 特性 사이에는 다음 關係가 成立한다.

$$\lambda=\frac{1}{AT} \quad (1)$$

$$\mu=\frac{1}{AT} \quad (2)$$

$$f=A\lambda=\bar{A}\mu \quad (3)$$

그림 1에서 狀態 “1”을 기준으로 할 때 入는 狀態 “1”에서 다른 狀態로 移動하는 rate of departure 를 나타내며 μ 는 다른 狀態에서 狀態 “1”로 移動해 들어오는 rate of entry 를 나타낸다. 따라서 그림 1와 식(3)을 參考로 하면 單位時間에 Markov Process 가 狀態 “1”에 轉入 또는 轉出하는 頻度 f_1 은 다음 식으로 나타낼 수 있으리라는 것을 알 수 있다.

$$f_1=A\lambda \quad (4)$$

또는

$$f_1=\bar{A}\mu \quad (5)$$

2臺의 發電設備을 並列運轉하는 경우에는 狀態의 數는 $2^2=4$ 가 된다. 이 4개의 狀態와 이 경우에 대응하는 Markov Process 의 transition diagram 을 表 1 과 그림 2에 각각 表示하였다. 이 model에서 각 發電設備가 稼動 또는 修理中에 있을 確率은 서로 獨立이다. 表 1의 마지막 欄은 Process 가 주어진 狀態에서 다른 狀態로 移動하는 rate of departure 를 나타내며 주어진 狀態에서의 平均殘留時間(mean time in residence in a state)은 해당 rate of deparfure 的 逆數가 된다. 또 가령 예

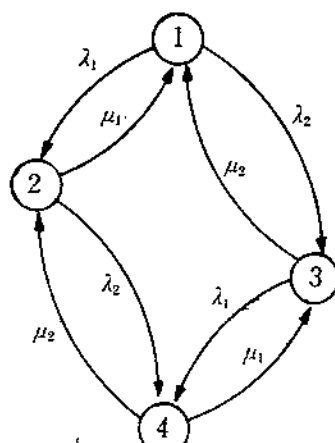


그림 2 4개의 狀態를 가지는 Markov process 의 transition diagram

를 들어 狀態“2”로 Process 가 移動하는 平均週期는 다음 식으로 주어진다.

$$T_2=1/[A_{state2}(\lambda_2+\mu_1)]$$

지금 並列運轉을 하는 2臺의 發電設備의 諸般特性

表 1 並列運轉을 하는 2臺의 發展設備의 狀態

| State Number | Machine 1 | Machine 2 | Rate of Departure |
|--------------|-----------|-----------|-------------------------|
| 1 | up | up | $\lambda_1 + \lambda_2$ |
| 2 | down | up | $\mu_1 + \lambda_2$ |
| 3 | up | down | $\lambda_1 + \mu_2$ |
| 4 | down | down | $\mu_1 + \mu_2$ |

이 表 2 와 같이 주어진 경우를 생각하여 보자.

表 2 2臺의 發電設備의 特性

| 設備番號 | 設備容量(MW) | 有用性(r) | μ (days) | λ (per day) |
|------|----------|--------|--------------|---------------------|
| 1 | 20 | 0.9800 | 2.040816 | 0.49 |
| 2 | 30 | 0.9800 | 2.040816 | 0.49 |

이 경우 表 1에서 정의한 각 狀態(出力可能한 容量에 대응하는 有用性 및 각 狀態가 일어나는 平均週期)를 計算하면 表 3과 같은 結果가 얻어진다.

表 3 2臺의 發電設備의 狀態와 그 特性

| 狀態番號 | 可能出力(MW) | A | Rate of Departure(per day) | 週期(days) |
|------|----------|--------|--------------------------------|----------|
| 1 | 50 | 0.9604 | $\lambda_1 + \lambda_2 = 0.06$ | 52.0616 |
| 2 | 30 | 0.0196 | $\mu_1 + \lambda_2 = 0.50$ | 102.0408 |
| 3 | 20 | 0.0196 | $\lambda_1 + \mu_2 = 0.050$ | 102.0408 |
| 4 | 0 | 0.0004 | $\mu_1 + \mu_2 = 0.98$ | 2551.02 |

Cumulative-Event Cycle Time

Loss of load probability method에서와 같이 Frequency and duration method에서도 便宣上 電力系統의 有效性을 나타내는 尺度로서는 “어떤 容量의 出力不可能한 狀態가 얼마나 자주 일어나느냐?” 보다도 “어떤 容量 또는 그 以上的 出力不可能한 狀態가 얼마나 자주 일어나느냐?”는 表現方法을 使用한다. 이의 表現方法을 使用하기 위해서는 각 狀態가 이에 대응하여 “주어진 容量 또는 그 以上的 出力이 不可能한 狀態”를 나타내도록 狀態에 관한 概念을 다시 定義하지 않으면 안된다. 앞에서 考察한 바 있는 2臺의 發電設備를 並列運轉하는 경우를 利用하여 이 새로운 狀態에 관한 概念을 例示해 보면 다음과 같다. 그림 3은 2臺의 發電設備의 例에 관한 2가지 狀態 즉 “exact state”와 “cumulative state”的 관계를 圖示한 것 이다. 이 그림에서 狀態를 表示하는 番號 위에 “1”를 한 것이 “주어진 容量 또는 그 以上的 出力이 不可

能한 狀態” 즉 Cumulative state을 나타내는 狀態番號이며 ○안의 數字는 表 3에 表示된

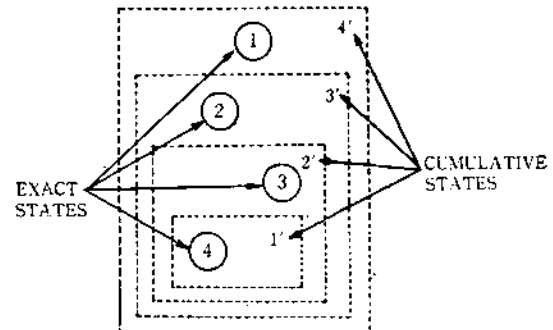


그림 3 EXACT STATE와 CUMULATIVE STATE의 관계

원래의 狀態 즉 exact state를 나타내는 番號이다. 이 그림을 보면 새로운 狀態 1'은 원래의 狀態 4와 같으며 새로운 狀態 2'은 원래의 狀態 3과 4를 包含하는 등의 關係가 成立한다는 것을 알 수 있다.

이러한 結果로 부터 狀態 1'이 일어나는 頻度, $f_{1'}$ 은 다음 式으로 주어진다.

$$f_{1'} = A_4(\mu_1 + \mu_2) = f_4$$

즉 狀態 1'이 일어나는 頻度는 狀態 4가 일어나는 頻度와 같다. 또 狀態 2'이 일어나는 頻度 $f_{2'}$ 은 狀態 1'이 일어나는 頻度 $f_{1'}$ 과 狀態 1에서 狀態 3으로 移動해 들어가는 頻度 $A_3\mu_2$ 를 합한 것 보다 狀態 3에서 狀態 4로 移動해 들어가는 頻度 $A_3\lambda_1$ 만큼이 적으므로 다음 式으로 주어진다는 것을 立證할 수가 있다.

$$f_{2'} = f_{1'} - A_3\lambda_1 + A_3\mu_2$$

이와 같은 結果를 發電設備 여타台로 構成되는 電力系統의 경우에도 適用할 수 있도록 一般化하기 위해서 지금 exact state k 에서의 transition rates, λ_{+k} 와 λ_{-k} 를 다음과 같이 定義하면

$\lambda_{+k} = \lambda_{down} =$ 주어진 크기의 出力이 可能한 狀態 k 에서 보다 큰 出力이 可能한 狀態로 移動하는 rate of transition

$\lambda_{-k} = \lambda_{down} =$ 주어진 크기의 出力이 可能한 狀態 k 에서 보다 작은 出力이 可能한 狀態로 移動하는 rate of transition

一定한 크기 또는 그 以下の 出力이 可能한 狀態가 일어나는 頻度는 식(6)과 같은 순환식(recursive relationship)으로 부터 구할 수 있다.

$$f_n = f_{n-1} - A_k \lambda_{-k} + A_k \lambda_{+k} \quad (6)$$

여기서 A_k 는 exact state k 의 有用性(availability)이고 Cumulative state을 나타내는 f_n , f_{n-1} 에서는 便宣上 “”表를 사용하지 않고 下部文字로 n , $n-1$ 등을

사용하였다. 마찬가지로 Cumulative state n 의 有用性은 다음關係式을 利用하여 구할 수 있다.

$$A_n = A_{n-1} + A_k \quad (7)$$

同一한 出力を 나타내는 狀態의 統合

一般的으로 r 개의 發電設備로 構成되는 電力系統에서 的 狀態의 數는 2^r 개로 주어진다. 그러나 電力系統을 構成하는 發電設備 가운데에는 設備容量이 같은 것이 여러台 있을 수 있고 또 設備容量이 같지 않은 경우에도 一定 容量의 倍數가 되는 設備가 여러台 있기 때문에 2^r 개의 狀態 가운데에는 그 出力이 同一한 規模의 出力を 나타내는 狀態는 모두 統合할 必要가 있다.

지금 同一한 規模의 出力を 가지는 2개의 狀態를 각각 i, j 라 하고 k 를 同一한 出力を 가지는 狀態까지 統合된 狀態, 그리고 그 出力 可能한 容量을 각각 C_i, C_j, C_k 라 하면 統合된 狀態 k 의 出力可能한 容量, 有用性, 그리고 이 狀態가 일어나는 頻度는 다음 式으로 주어진다.

表 4 假想的 電力系統을 構成하는 發電設備의 特性

| 發電設備番號 | 容量 (MW) | λ (day) | μ (day) | A | λ_0 (day) | A_0 |
|--------|------------|--------------------|----------------|--------|----------------------|--------|
| 1 | 50 | 0.116 | 0.887 | 0.8783 | 0.015 | 0.9824 |
| 2 | 50 | 0.136 | 0.239 | 0.6373 | 0.015 | 0.9409 |
| 3 | 100 | 0.018 | 0.571 | 0.8763 | 0.020 | 0.9606 |
| 4 | 200 | 0.085 | 0.571 | 0.8704 | 0.040 | 0.9501 |
| 5 | 200 | 0.072 | 1.481 | 0.9536 | 0.040 | 0.9737 |
| 6 | 175 | 0.062 | 0.522 | 0.8938 | 0.030 | 0.9457 |
| 7 | 150 | 0.067 | 0.608 | 0.9007 | 0.030 | 0.9323 |
| 8 | 200 | 0.057 | 0.574 | 0.9097 | 0.040 | 0.9503 |
| 9 | 125 | 0.062 | 0.635 | 0.9110 | 0.025 | 0.9621 |
| 10 | 100 | 0.054 | 0.488 | 0.9004 | 0.020 | 0.9663 |
| 11 | 25 | 0.046 | 0.539 | 0.9214 | 0.0125 | 0.9773 |
| 12 | 50 | 0.047 | 0.316 | 0.8705 | 0.015 | 0.9547 |
| 13 | 250 | 0.045 | 0.503 | 0.9179 | 0.050 | 0.9096 |
| 14 | 25 | 0.040 | 0.157 | 0.9666 | 0.0125 | 0.9893 |
| 15 | 300 | 0.048 | 0.401 | 0.8931 | 0.060 | 0.8698 |
| 16 | 125 | 0.039 | 0.452 | 0.9206 | 0.025 | 0.9476 |
| 17 | 25 | 0.034 | 0.810 | 0.9997 | 0.0125 | 0.9848 |
| 18 | 150 | 0.038 | 0.413 | 0.9157 | 0.030 | 0.9323 |
| 19 | 300 | 0.032 | 0.271 | 0.8944 | 0.060 | 0.8187 |
| 20 | 25 | 0.025 | 0.901 | 0.9730 | 0.0125 | 0.9863 |
| 21 | 25 | 0.022 | 1.005 | 0.9786 | 0.0125 | 0.9877 |
| 22 | 75 | 0.021 | 0.182 | 0.8966 | 0.0175 | 0.9123 |
| 23 | 250 | 0.013 | 0.277 | 0.9552 | 0.050 | 0.8471 |
| 24 | 250 | 0.006 | 0.859 | 0.9981 | 0.050 | 0.9450 |

$$A = \frac{\mu}{\lambda + \mu}$$

$$A_0 = \frac{\mu}{\lambda_0 - \mu}$$

$$C_k = C_i = C_j \quad (8)$$

$$A_k = A_i + A_j \quad (9)$$

$$f_k = f_i + f_j \quad (10)$$

또 狀態 k 从 부터 可能出力이 높은 狀態로 移動하는 rate of departure 와 可能出力이 낮은 狀態로 移動하는 rate of departure 는 각각 다음 式으로 주어진다.

$$A_k \lambda_{up, k} = A_i \lambda_{up, i} + A_j \lambda_{up, j} \quad (11)$$

$$A_k \lambda_{down, k} = A_i \lambda_{down, i} + A_j \lambda_{down, j} \quad (12)$$

식 (6)~(11)을 利用하여 우리는 電力系統의 exact capacity state 와 cumulative capacity state에 관한 諸般特性을 算出해볼 수 있다.

3. 發電設備의 事故停止率이 電力系統의 供給能力에 미치는 影響

表 4는 假想的인 電力系統을 構成하는 24台의 火力發電設備의 事故停止 및 故障修理에 관한 データ이다. 이 データ는 韓國電力이 保有하고 있는 火力發電設備의 事故停止 및 故障修理에 관한 過去의 データ(参考 문헌 7)를 대소 修正하여 얻어진 것이므로 이 假想的인 電力系統은 그 規模나 設備保全 現況이란 觀點에서 韓國의 實情을 어느 程度까지는 反映하고 있는 것으로 생각된다.

아래에서는 이 假想的인 電力系統에서 각 設備의 事

EQUIVALENT FORCED OUTAGE RATE
VS.
UNIT SIZE

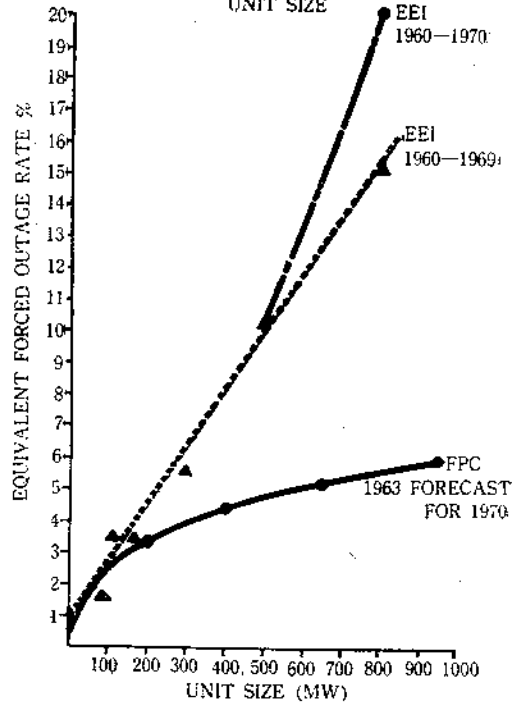


그림 4. 設備容量에 따른 事故停止率

表 5

RESULTS FOR 24-MACHINE SYSTEM

| (MW) | EXACT OUTAGE STATES | | | CUMULATIVE OUTAGE STATES | | |
|------|---------------------|-----------|------------|--------------------------|-----------|------------|
| | OUTAGE AVAILABILITY | FREQUENCY | CYCLE TIME | AVAILABILITY | FREQUENCY | CYCLE TIME |
| (MW) | (PER DAYS) | (DAYS) | | (PER DAYS) | (DAYS) | |
| 0 | 0.242043 | 0.169430 | 5.90 | 1.000000 | — | — |
| 25 | 0.018352 | 0.027761 | 36.02 | 0.757957 | 1.098967 | 0.91 |
| 50 | 0.031570 | 0.033431 | 29.91 | 0.739605 | 1.071206 | 0.93 |
| 75 | 0.025628 | 0.024490 | 40.83 | 0.708035 | 1.037776 | 0.96 |
| 100 | 0.021403 | 0.027063 | 36.95 | 0.682407 | 1.013287 | 0.99 |
| 125 | 0.027439 | 0.034311 | 29.15 | 0.661004 | 0.986224 | 1.01 |
| 150 | 0.033890 | 0.042040 | 23.79 | 0.633565 | 0.951913 | 1.05 |
| 175 | 0.021193 | 0.028638 | 34.92 | 0.599675 | 0.909873 | 1.10 |
| 200 | 0.039824 | 0.057874 | 17.28 | 0.578482 | 0.881235 | 1.13 |
| 225 | 0.009649 | 0.016701 | 59.88 | 0.538658 | 0.823361 | 1.21 |
| 250 | 0.091093 | 0.104429 | 9.49 | 0.529009 | 0.806660 | 1.24 |
| 275 | 0.014494 | 0.026088 | 38.33 | 0.437916 | 0.701232 | 1.43 |
| 300 | 0.106572 | 0.113559 | 8.81 | 0.423423 | 0.675143 | 1.48 |
| 325 | 0.021837 | 0.035914 | 27.84 | 0.316851 | 0.561584 | 1.78 |
| 350 | 0.024392 | 0.038277 | 26.13 | 0.295014 | 0.525670 | 1.90 |
| 375 | 0.022363 | 0.034267 | 29.18 | 0.270623 | 0.487393 | 2.05 |
| 400 | 0.022317 | 0.037403 | 26.74 | 0.248259 | 0.453126 | 2.21 |
| 425 | 0.018756 | 0.031211 | 32.04 | 0.225943 | 0.415723 | 2.41 |
| 450 | 0.027152 | 0.546447 | 21.53 | 0.207186 | 0.384512 | 2.60 |
| 475 | 0.012046 | 0.021896 | 45.67 | 0.180035 | 0.338065 | 2.96 |
| 500 | 0.026809 | 0.046732 | 21.40 | 0.167988 | 0.316169 | 3.16 |
| 525 | 0.007568 | 0.016022 | 62.42 | 0.141180 | 0.269438 | 3.71 |
| 550 | 0.037284 | 0.055786 | 17.93 | 0.133612 | 0.253416 | 3.95 |
| 575 | 0.008642 | 0.018321 | 54.58 | 0.096328 | 0.197630 | 5.06 |
| 600 | 0.016948 | 0.028062 | 35.64 | 0.087686 | 0.179309 | 5.58 |
| 625 | 0.008424 | 0.016821 | 59.45 | 0.070739 | 0.151247 | 6.61 |
| 650 | 0.007963 | 0.16639 | 60.10 | 0.062315 | 0.134426 | 7.44 |
| 675 | 0.006868 | 0.014003 | 71.41 | 0.054352 | 0.117787 | 8.49 |
| 700 | 0.007811 | 0.016374 | 61.07 | 0.047484 | 0.103784 | 9.64 |
| 725 | 0.004755 | 0.010130 | 98.72 | 0.039674 | 0.087410 | 11.44 |
| 750 | 0.007320 | 0.015644 | 63.92 | 0.034919 | 0.077281 | 12.94 |
| 775 | 0.002752 | 0.006490 | 154.09 | 0.027566 | 0.061637 | 16.22 |
| 800 | 0.006145 | 0.012724 | 78.59 | 0.024847 | 0.055147 | 18.13 |
| 825 | 0.002125 | 0.005274 | 186.61 | 0.018702 | 0.042423 | 23.57 |
| 850 | 0.004566 | 0.006043 | 110.58 | 0.016577 | 0.037146 | 26.92 |
| 875 | 0.001872 | 0.004573 | 218.66 | 0.012011 | 0.028106 | 35.58 |
| 900 | 0.001718 | 0.004190 | 238.64 | 0.010139 | 0.023532 | 42.49 |
| 925 | 0.001413 | 0.003978 | 269.01 | 0.008421 | 0.019342 | 51.70 |
| 950 | 0.001328 | 0.003290 | 30.398 | 0.007008 | 0.015964 | 62.64 |
| 975 | 0.000935 | 0.002252 | 444.07 | 0.005680 | 0.012674 | 78.90 |
| 1000 | 0.001162 | 0.002824 | 354.08 | 0.004745 | 0.010422 | 95.95 |
| 1025 | 0.000556 | 0.001344 | 743.90 | 0.003583 | 0.007598 | 131.62 |

故停止率의 增加가 系統全體의 電力供給 能力이 어찌 한 영향을 미치는가를 評價해 보기로 한다. 그림 4는 美國의 EEI(Edison Electric Institute)에서 調査한 發

電設備의 容量別 事故停止率을 그라프(참고문헌 2)로 나타낸 것으로 本研究에서는 이 그라프의 ベイタ를 發電設備에 대한 適切한 保全을 實施할 때의 事故停止率

表 6

RESULTS FOR 24-MACHINE SYSTEM

| OUTAGE (MW) | EXACT OUTAGE STATES | | | CUMULATIVE OUTAGE STATES | | |
|----------------|----------------------------|-------------------------|----------------------|----------------------------|-------------------------|----------------------|
| | AVAILABILITY (PER DAYS) | FREQUENCY (PER DAYS) | CYCLE TIME (DAYS) | AVAILABILITY (PER DAYS) | FREQUENCY (PER DAYS) | CYCLE TIME (DAYS) |
| 0 | 0.091086 | 0.113675 | 8.80 | 1.000000 | — | — |
| 25 | 0.019262 | 0.038526 | 25.96 | 0.908915 | 2.027184 | 0.49 |
| 50 | 0.079524 | 0.119716 | 8.35 | 0.889653 | 1.988658 | 0.50 |
| 75 | 0.027058 | 0.051828 | 19.29 | 0.810129 | 1.868942 | 0.54 |
| 100 | 0.043225 | 0.079878 | 12.55 | 0.783071 | 1.817115 | 0.55 |
| 125 | 0.034371 | 0.066036 | 15.14 | 0.739846 | 1.737437 | 0.58 |
| 150 | 0.045250 | 0.087967 | 11.37 | 0.705476 | 1.671402 | 0.60 |
| 175 | 0.038480 | 0.078808 | 12.69 | 0.660225 | 1.583435 | 0.63 |
| 200 | 0.057354 | 0.117476 | 8.51 | 0.621745 | 1.504627 | 0.66 |
| 225 | 0.032262 | 0.074413 | 13.44 | 0.564391 | 1.387152 | 0.72 |
| 250 | 0.054713 | 0.115945 | 8.62 | 0.532129 | 1.012738 | 0.76 |
| 275 | 0.028333 | 0.069805 | 14.33 | 0.477416 | 1.196794 | 0.84 |
| 300 | 0.059093 | 0.120637 | 8.29 | 0.449083 | 1.126989 | 0.89 |
| 325 | 0.030784 | 0.076801 | 13.02 | 0.389991 | 1.006352 | 0.99 |
| 350 | 0.046138 | 0.103610 | 9.65 | 0.359201 | 0.929552 | 1.08 |
| 375 | 0.029303 | 0.074373 | 13.45 | 0.313068 | 0.825942 | 1.21 |
| 400 | 0.032296 | 0.081013 | 12.34 | 0.283765 | 0.751569 | 1.33 |
| 425 | 0.025451 | 0.065862 | 15.18 | 0.251469 | 0.670556 | 1.49 |
| 450 | 0.028878 | 0.073885 | 13.53 | 0.226018 | 0.604695 | 1.65 |
| 475 | 0.021417 | 0.57357 | 17.43 | 0.197140 | 0.530810 | 1.88 |
| 500 | 0.026315 | 0.068262 | 14.65 | 0.175724 | 0.473453 | 2.11 |
| 525 | 0.016695 | 0.047193 | 21.19 | 0.149409 | 0.405171 | 2.47 |
| 550 | 0.021124 | 0.055809 | 17.92 | 0.132714 | 0.357978 | 2.79 |
| 575 | 0.013349 | 0.038702 | 25.84 | 0.111591 | 0.302170 | 3.31 |
| 600 | 0.015721 | 0.042551 | 23.50 | 0.098241 | 0.263467 | 3.80 |
| 625 | 0.011068 | 0.032122 | 31.13 | 0.082520 | 0.220916 | 4.53 |
| 650 | 0.011347 | 0.031992 | 31.26 | 0.071452 | 0.188795 | 5.30 |
| 675 | 0.008686 | 0.025228 | 39.64 | 0.060105 | 0.156803 | 6.38 |
| 700 | 0.008242 | 0.023761 | 42.09 | 0.051419 | 0.131575 | 7.60 |
| 725 | 0.006354 | 0.018401 | 54.34 | 0.043177 | 0.107814 | 9.28 |
| 750 | 0.006352 | 0.018062 | 55.37 | 0.036823 | 0.089413 | 11.18 |
| 775 | 0.004535 | 0.013048 | 76.64 | 0.030471 | 0.071351 | 14.02 |
| 800 | 0.004603 | 0.012877 | 77.66 | 0.025936 | 0.058303 | 17.15 |
| 825 | 0.003199 | 0.009020 | 110.87 | 0.021332 | 0.045426 | 22.01 |
| 850 | 0.003095 | 0.008447 | 118.38 | 0.018134 | 0.036406 | 27.47 |
| 875 | 0.002247 | 0.006088 | 164.25 | 0.015039 | 0.027959 | 35.77 |
| 900 | 0.002002 | 0.005311 | 188.29 | 0.012791 | 0.021871 | 45.72 |
| 925 | 0.001537 | 0.003947 | 253.37 | 0.010789 | 0.016560 | 60.39 |
| 950 | 0.001294 | 0.003303 | 302.77 | 0.009252 | 0.012613 | 79.28 |
| 975 | 0.000985 | 0.002364 | 422.95 | 0.007958 | 0.009310 | 107.41 |
| 1000 | 0.000827 | 0.001996 | 501.08 | 0.006974 | 0.006946 | 143.96 |
| 1025 | 0.000596 | 0.001317 | 759.40 | 0.006147 | 0.004950 | 202.00 |

의標準值로 사용하였다. 表 4에서 λ_0 는 이標準事故停止率을 나타내고 있다.

表 5는 假想的인 電力系統을構成하는 發電設備의

保全狀態가 滿足스러운 狀態(表 4에서 事故停止率이 λ_0 일 때)에 있을 경우의 系統의 電力供給 能力を Frequency and Duration method를 利用하여 算出한 結果

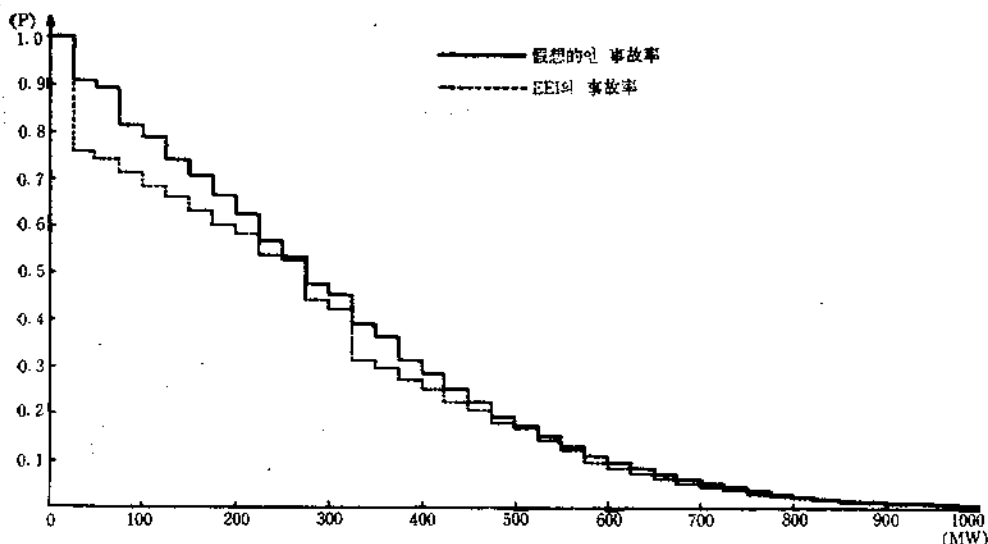


그림 5 假想的인 電力系統의 Cumulative Capacity State

이다. 또 表 6 은 이 電力系統을 構成하는 發電設備의 保全狀態가 現狀(表 4에서 事故停止率이 λ 에 해당)과 같을 경우의 系統의 電力供給 能力を 表 5와 같은 方法으로 算出한 結果이다. 그림 5는 系統을 構成하는 發電設備의 事故停止率의 增加가 電力系統의 供給 能力を 어느 程度나 低下시키는가를 考慮하기 위하여 表 5와 表 6에서 얻어진 結果로부터 각 Cumulative capacity State의 일어날 確率을 그라프로 나타낸 것이다.

이 그라프를 보면 確率의 水準에 따라 多少의 差異는 있지만 表 4에 提示된 假想的인 電力系統에서 發電設備의 事故停止率의 增加가 表 4의 데ータ와 같을 경우 電力系統의 供給 能力은 約 50~75MW가 減少된다는 事實을 알 수 있다. 이 結果는 全體의 電力系統의 設備容量의 約 2%에 해당한다. 앞에서는 發電設備가 積動할 때에는 定格出力を 모두 낼 수 있다는 가정을 하였으나 設備의 部分的인 劣化로 인한 減發까지를勘案한다면 이러한 數值은 더 增加하리라는 것이 豫想된다.

4. 結 言

電力系統의 發電效率을 向上시키고 높은 信賴性을 維持하기 위해서는 適切한 保全活動을 通해서 系統을 構成하는 각종 設備의 事故停止率을 最小水準에서 維持하는 것이 무엇보다도 중요하다. 保全活動이 잘 이루어지지 않는 경우에는 發電設備의 빈번한 事故停止의 빨생으로 電力系統의 供給 能力이 低下될 뿐만이 아니

라 빈번한 停止一始動으로 인한 燃料의 消耗를 招來하며 또 低下되는 電力의 供給 能力を 補充하기 위해서서 餘分의 發電設備를 確保하지 않으면 안된다. 따라서合理的의 保全活動을 위한 投資規模을 결정하기 위해서는 系統의 電力供給 能力を 補充하기 위해서 設備의 増設에 소요되는 費用과 系統의 信賴性 向上을 위한 保全活動이 소요되는 費用間의 trade-off analysis를 實施하여 보는 것이 價値 있는 일이라 생각된다.

本研究에서는 Hall 등(参考文献 4,5)이 개발한 Frequency and Duration Method를 利用하여 電力系統을構成하는 發電設備의 事故停止의 增加가 系統 全體의 系統의 供給 能力에 어떠한 영향을 미치는가를 假想的인 電力 데ータ를 使用하여 例示하였다. 그러나 위에서 言及한 trade-off analysis에 이와 같은 方法을 使用하기 위해서는 保全活動에 投入되는 費用과 設備의 事故停止率, 그리고 修理率간의 量的인 關係를 把握하는 것이 重要的 課題로 등장하리라고 생각된다.

參 考 文 獻

1. AIEE Subcommittee Report, "Application of Probability methods to Generating Capacity Problems, AIEE Trans. (Power Apparatus and Systems), Vol. 79, pp. 1165-1182, 1960
2. Billington, R. and J. Kransnodebski, "Practical Application of Reliability and Maintainability Concepts to Generating Station Design," IEEE Trans. PAS 92 (6), 1963

3. V.M. Cook, C.D. Galloway, M.J. Steinberg and A.J. Wood, "Determination of Requirements of Two Inter-connected Systems," *IEEE Trans. PAS* Vol. 82 Apr 1963
4. Hall, J.D., R.J. Ringlee and A.J. Wood, "Frequency and Duration methods for Power System Reliability Calculations: I-Generation System model," *IEEE Trans, IEEE Trans. PAS* 87(9), 1968
5. Hall, J.D., R.J. Ringlee and A.J. Wood, Power System Reliability Calculations, The MIT Press, Cambridge, Mass., 1973
6. H. Halperin and H.A. Adler, "Determination of Reserve Generating Capability," *AIEE Trans. PAS*. Vol. 77 Aug. 1958
7. 韓國電力株式會社 經營診斷報告書 高麗大學校 企業經營研究所. 1977. 6.